

Warszawa, dn. 2024-03-10

T-Mobile Polska S.A.
ul. Marynarska 12
02-674 Warszawa

Pełnomocnik: [REDACTED]
Pełnomocnictwo numer: 159/01/21

z dnia: 2021-01-13

dane do korespondencji:

NetWorks Sp. z o.o.
ul. Józefa Piłsudskiego 3
00-728 Warszawa
tel. 506401236

Prezydent Miasta Białystok
Urząd Miejski w Białymstoku
ul. Słonimska 1
15-950 Białystok

Dotyczy: ustawowego obowiązku, wynikającego z art. 152 ust. 1 i ust. 7 w związku z ust. 6 pkt 1c ustawy z dnia 27 kwietnia 2001r – Prawo ochrony środowiska (Dz.U. 2024 poz. 54).

Działając z upoważnienia T-Mobile Polska S.A. z siedzibą ul. Marynarska 12, 02-674 Warszawa, **informuję o zmianie danych w zakresie wielkości i rodzaju emisji** dla instalacji radiokomunikacyjnej **24004 (96005N!) WBI_BIALYSTOK_ZWYCIESTWA10** zlokalizowanej w miejscowości BIAŁYSTOK, ul. ZWYCIĘSTWA 8/10. W stosunku do informacji zawartej w zgłoszeniu realizowanym dla tej instalacji w trybie art. 152 ust. 1 i 5 ustawy z dnia 27 kwietnia 2001r – Prawo ochrony środowiska (Dz.U. 2024 poz. 54), dane ulegają zmianie w następujący sposób:

9. Wielkość i rodzaj emisji²⁾:

Pole elektromagnetyczne. EIRP poszczególnych anten zostało podane w pkt 12, tj.

| Lp. | Równoważna moc promieniowana izotropowo (EIRP) [W] |
|-----|--|
| 1. | 15738 |
| 2. | 45293 |
| 3. | 8676 |
| 4. | 15738 |
| 5. | 45293 |
| 6. | 8676 |
| 7. | 16051 |
| 8. | 45293 |
| 9. | 8676 |
| 10. | 4 |
| 11. | 4 |

12. Szczegółowe dane, odpowiednio do rodzaju instalacji, zgodne z wymaganiami określonymi w załączniku nr 2 do Rozporządzenia:

| Lp. | 1) | 2) | 3) | 4) | 5) | |
|-----|--------------------------|---|--|--|------------|---|
| | Współrzędne geograficzne | Częstotliwość lub zakresy częstotliwości pracy instalacji [MHz] | Wysokość środka elektrycznego anteny [m n.p.t] | Równoważna moc promieniowana izotropowo (EIRP) [W] | Azymut [°] | Kąt pochylenia lub zakresy kątów pochylenia [°] |
| 1. | 23°8'1.2" 53°8'8" | 900/1800/2100 | 29.7 | 15738 | 24 | -2-10/5.5/5.5 |
| 2. | 23°8'1.3" 53°8'7.9" | 3600 | 29.7 | 45293 | 24 | -1-11 |
| 3. | 23°8'1.3" 53°8'7.9" | 800/2600 | 29.7 | 8676 | 24 | 1-13/-1-11 |
| 4. | 23°8'1" 53°8'7.1" | 900/1800/2100 | 29.7 | 15738 | 150 | -1-11/3.5/3.5 |
| 5. | 23°8'0.9" 53°8'7.1" | 3600 | 29.7 | 45293 | 150 | -1-11 |
| 6. | 23°8'0.9" 53°8'7.1" | 800/2600 | 29.7 | 8676 | 150 | -1-11/-3-9 |
| 7. | 23°8'1" 53°8'7.9" | 900/1800/2100 | 29.7 | 16051 | 270 | -2-10/5.5/5.5 |
| 8. | 23°8'1" 53°8'8" | 3600 | 29.7 | 45293 | 270 | -1-11 |
| 9. | 23°8'1" 53°8'8" | 800/2600 | 29.7 | 8676 | 270 | 1-13/-1-11 |
| 10. | 23°8'1" 53°8'7.1" | 38000 | 27 | 4 | 169* | nd |
| 11. | 23°8'1" 53°8'7.1" | 38000 | 27 | 4 | 182* | nd |

*) tolerancja azymutu od -10° do +10°.

Informuję, iż dokonane zmiany w zakresie wielkości i rodzaju emisji przedmiotowej instalacji nie powodują zmiany instalacji w sposób istotny zgodnie z art. 3 pkt 7 ustawy Poś.

W załączniku przesyłam:

1. Pełnomocnictwo
2. Kopia potwierdzenia wniesienia opłaty skarbowej.

Otrzymują:

1. a/a
2. adresat





NetWorks Sp. z o.o.
Laboratorium Badań Środowiskowych
ul. Józefa Piusa Dziekońskiego 3
00-728 Warszawa
e-mail: Laboratorium@networks.pl



AB 419

S P R A W O Z D A N I E 2564/2023/OS
Z POMIARÓW PÓL ELEKTROMAGNETYCZNYCH
WYKONANYCH DLA POTRZEB OCHRONY ŚRODOWISKA

Badany obiekt: Instalacja radiokomunikacyjna T-Mobile Polska S.A.
Numer i nazwa: 24004 (96005N!) WBI_BIALYSTOK_ZWYCIESTWA10
Adres: BIAŁYSTOK, ZWYCIĘSTWA 8/10, Powiat m. Białystok, WOJ. PODLASKIE

Data wykonania pomiarów: 2024-03-15

Sprawozdanie z badań bez pisemnej zgody laboratorium nie może być powielane inaczej niż w całości.
Wynik przedstawione w niniejszym sprawozdaniu odnoszą się wyłącznie do badanego obiektu i do warunków i konfiguracji urządzeń w dniu wykonywania pomiarów.

1. Właściciel badanego obiektu:

T-Mobile Polska S.A., ul. Marynarska 12, 02-674 Warszawa

2. Zleceniodawca:

T-Mobile Polska S.A., ul. Marynarska 12, 02-674 Warszawa

3. Przedstawiciel zleceniodawcy:

NetWorks Sp. z o.o.

4. Zakres zlecenia:

Wykonanie badania i opracowanie sprawozdania z pomiarów natężenia pola elektrycznego i pola magnetycznego dla instalacji radiokomunikacyjnej T-Mobile Polska S.A. zlokalizowanej w miejscowości BIAŁYSTOK, ZWYCIĘSTWA 8/10.

5. Cel zlecenia:

Wykonanie pomiarów pól elektromagnetycznych w otoczeniu instalacji radiokomunikacyjnej 24004 (96005N!) WBI_BIALYSTOK_ZWYCIESTWA10 w odniesieniu do wymagań określonych w *Rozporządzeniu Ministra Klimatu z dnia 17 lutego 2020 r. w sprawie sposobów sprawdzania dotrzymania dopuszczalnych poziomów pól elektromagnetycznych w środowisku (Dz.U. 2022 poz. 2630)*.

6. Pomiary zostały wykonane przez:



7. Informacje o źródłach pól elektromagnetycznych

7.1. Sposób identyfikacji badanych źródeł pól elektromagnetycznych

Identyfikacji źródeł i parametrów technicznych dokonano na podstawie analizy dokumentacji dotyczącej zlecenia oraz obserwacji miejsca wykonywania badań.

7.2. Opis miejsca zainstalowania anten i urządzeń technicznych. Opis obiektu badań i jego otoczenia

Instalacja radiokomunikacyjna zlokalizowana jest na dachu. Anteny zawieszono na masztach usytowanych na dachu budynku. Urządzenia sterujące oraz zasilające zainstalowano w pomieszczeniu w pomieszczeniu technicznym na ostatnim piętrze. Wokół instalacji znajduje się miasto.

Instalacja radiokomunikacyjna jest obiektem bezobsługowym. Okresowe stanowiska pracy związane są z prowadzonymi w zależności od potrzeb konserwacjami, przeglądami, strojeniem i naprawami.

7.3. Parametry techniczne źródła pola elektromagnetycznego

Dane przedstawiające maksymalne parametry pracy instalacji przekazane przez zleceniodawcę:

Parametry systemu nadawczo-odbiorczego:

| Charakterystyka promieniowania | | kierunkowa | | | | | |
|---------------------------------|--|----------------------|--------------|------------|--------------------|---|--|
| Rzeczywisty czas pracy [h/dobę] | | 24 | | | | | |
| Warunki pracy | | znamionowe | | | | | |
| Rodzaj wytwarzanego pola | | stacjonarne | | | | | |
| Lp. | Częstotliwość lub zakresy częstotliwości pracy [MHz] | Typ/producent anteny | liczba anten | Azymut [°] | kąt pochylenia [°] | Wysokość środka elektrycznego anteny [m n.p.t.] | Równoważna moc promieniowana izotropowo (EIRP) [W] |
| 1 | 900/1800/2100 | ATR4518R13v06 Huawei | 1 | 24 | -2-10**/5.5*/5.5* | 29.7 | 15738 |
| 2 | 3600 | AQQQ NSN | 1 | 24 | -1-11** | 29.7 | 45293 |
| 3 | 800/2600 | ATR4518R13v06 Huawei | 1 | 24 | 1-13**/-1-11** | 29.7 | 8676 |
| 4 | 900/1800/2100 | ATR4518R13v06 Huawei | 1 | 150 | -1-11**/3.5*/3.5* | 29.7 | 15738 |
| 5 | 3600 | AQQQ NSN | 1 | 150 | -1-11** | 29.7 | 45293 |
| 6 | 800/2600 | ATR4518R13v06 Huawei | 1 | 150 | -1-11**/-3-9** | 29.7 | 8676 |
| 7 | 900/1800/2100 | ATR4518R13v06 Huawei | 1 | 270 | -2-10**/5.5*/5.5* | 29.7 | 16051 |
| 8 | 3600 | AQQQ NSN | 1 | 270 | -1-11** | 29.7 | 45293 |
| 9 | 800/2600 | ATR4518R13v06 Huawei | 1 | 270 | 1-13**/-1-11** | 29.7 | 8676 |

* wskazane wartości kąta pochylenia anten, zgodnie z informacją uzyskaną od zleceniodawcy, są wartościami stałymi

** pomiary wykonano zgodnie z pkt 13., ppkt 2 załącznika do Rozporządzenia Ministra Klimatu z dnia 17 lutego 2020 r. (Dz. U. 2022, poz. 2630).

Parametry radiolinii:

| Charakterystyka promieniowania | | kierunkowa | | | | | |
|---------------------------------|-----------------------------------|---------------------------|--|-----------------|---------------------|------------|-----------------------------------|
| Rzeczywisty czas pracy [h/dobę] | | 24 | | | | | |
| Warunki pracy | | znamionowe | | | | | |
| Rodzaj wytwarzanego pola | | stacjonarne | | | | | |
| Lp. | Linia radiowa | | | Antena | | | |
| | Typ/Producent | Częstotliwość pracy [GHz] | Równoważna moc promieniowana izotropowo (EIRP) [W] | Typ/producent | Średnica anteny [m] | Azymut [°] | Wysokość zainstalowania n.p.t [m] |
| 1. | NEC iPasolink 100E Harris Stratex | 38 | 4 | VHLP1-38 Andrew | 0.3 | 169 | 27 |
| 2. | NEC iPasolink 100E Harris Stratex | 38 | 4 | VHLP1-38 Andrew | 0.3 | 182 | 27 |

7.4 Inne źródła pól elektromagnetycznych

Na podstawie informacji otrzymanych od użytkownika oraz obserwacji otoczenia miejsca wykonywania pomiarów stwierdzono występowanie innych źródeł pola-EM, pracujących w systemie: telefonii komórkowej (800MHz-2600MHz), linii radiowych (5GHz – 90GHz), które istotnie wpływają na wyniki pomiarów.

Sprawozdanie z badań bez pisemnej zgody laboratorium nie może być powielane inaczej niż w całości.
 Wynik przedstawione w niniejszym sprawozdaniu odnoszą się wyłącznie do badanego obiektu i do warunków i konfiguracji urządzeń w dniu wykonywania pomiarów.

8. Opis pomiarów

8.1. Metoda badań

Zgodna z rozporządzeniem Ministra Klimatu z dnia 17 lutego 2020 r. w sprawie sposobów sprawdzania dotrzymania dopuszczalnych poziomów pól elektromagnetycznych w środowisku (Dz.U. 2022 poz. 2630), określona w pkt 25 ppkt 1 załącznika do niniejszego rozporządzenia.

8.2. Termin pomiarów i warunki środowiskowe

Podczas wykonywania pomiarów pól elektromagnetycznych nie występowały opady atmosferyczne. Wyniki pomiaru parametrów pogodowych przedstawia poniższa tabela:

| Data [rrrr-mm-dd] | Godzina [hh:mm-hh:mm] | Warunki środowiskowe | | | |
|----------------------|--------------------------|----------------------|--------------|-------------------------|--------------|
| | | Temperatura [°C] | | Wilgotność względna [%] | |
| 2024-03-15 | 10:25-14:00 | Przed pomiarem | Po pomiarach | Przed pomiarem | Po pomiarach |
| | | 6.6 | 9.2 | 64.9 | 55.9 |

Przedstawione wyżej warunki środowiskowe, występujące podczas wykonywania pomiarów pól elektromagnetycznych, są zgodne ze specyfikacją techniczną użytego zestawu pomiarowego.

8.3. Warunki pracy urządzeń nadawczych

Podczas pomiarów w przypadku uzyskania wyniku pomiaru szerokopasmowego wykonanego zastosowaną metodą, dla zakresów częstotliwości od 10 MHz do 300 GHz, powiększonego o rozszerzoną niepewność pomiaru U dla współczynnika rozszerzenia $k = 2$ przekraczającego 70% najniższej dopuszczalnej wartości składowej elektrycznej lub magnetycznej pola dla objętych pomiarami zakresów częstotliwości, uwzględnia się poprawki pomiarowe przekazane przez zleceniodawcę, umożliwiające uwzględnienie maksymalnych parametrów pracy instalacji zgodnie z pkt 7 załącznika do Rozporządzeniem Ministra Klimatu z dnia 17 lutego 2020 r. w sprawie sposobów sprawdzania dotrzymania dopuszczalnych poziomów pól elektromagnetycznych w środowisku (Dz. U. 2022, poz. 2630) zaznaczając, że wymagane jest wykonanie pomiaru z wykorzystaniem miernika selektywnego. W przypadku uzyskania wyniku pomiaru szerokopasmowego wykonanego zastosowaną metodą, dla zakresów częstotliwości od 10 MHz do 300 GHz, powiększonego o rozszerzoną niepewność pomiaru U dla współczynnika rozszerzenia $k = 2$ nieprzekraczającego 70% najniższej dopuszczalnej wartości składowej elektrycznej lub magnetycznej pola dla objętych pomiarami zakresów częstotliwości, nie uwzględnia się poprawek pomiarowych.

8.4. Wyposażenie pomiarowe

Zestaw pomiarowy służący do pomiaru natężenia składowej elektrycznej pola elektromagnetycznego złożony z szerokopasmowego miernika i sondy pomiarowej:

| Oznaczenie miernika | Producent | Model | Numer fabryczny | Oznaczenie sondy | Producent | Model | Numer fabryczny |
|---------------------|----------------------------|--|-----------------|------------------|----------------------------|------------------------------|-----------------|
| M-20 | Narda Safety Test Solution | Miernik pól elektromagnetycznych NBM-550 | H-0347 | S-21 | Narda Safety Test Solution | Sonda pomiarowa Narda EF6092 | C-0114 |

Mierniki natężenia pola elektromagnetycznego podlegają okresowemu sprawdzeniu zgodnie z procedurą wewnętrzną P-03 i PB-01. Świadectwo wzorcowania zestawu pomiarowego z dnia 31 marca 2023 o numerze LWiMP/W/136/23 wydane przez Politechnikę Wrocławską.
Data ważności świadectwa wzorcowania: 31 marca 2025 (zgodnie z procedurą wewnętrzną P-03).

Termohigrometr:

| | | | | | |
|-------------|-------|------------|--------------------|--------|-----------------------|
| Oznaczenie: | TH-19 | Producent: | AZ INSTRUMENT CORP | Model: | Termohigrometr AZ8706 |
|-------------|-------|------------|--------------------|--------|-----------------------|

Data ważności świadectwa wzorcowania: 19 maja 2024 (zgodnie z procedurą wewnętrzną P-03).

Dalmierz:

| Oznaczenie | Producent | Typ | Numer seryjny | Nr świadectwa wzorcowania | Data świadectwa wzorcowania |
|------------|-----------|---------------------------|---------------|---------------------------|-----------------------------|
| D-02 | Leica | Dalmierz Leica Disto X310 | 842350466 | 1146.6-M11-4180-396/15 | 8 kwietnia 2015 |

Data ważności świadectwa wzorcowania: 8 kwietnia 2025 (zgodnie z procedurą wewnętrzną P-03).

Sprawozdanie z badań bez pisemnej zgody laboratorium nie może być powielane inaczej niż w całości.
Wynik przedstawione w niniejszym sprawozdaniu odnoszą się wyłącznie do badanego obiektu i do warunków i konfiguracji urządzeń w dniu wykonywania pomiarów.

Odbiornik GNSS:

| Oznaczenie | Producent | Model | Numer fabryczny |
|------------|-----------|----------|-----------------|
| G-04 | Stonex | S7-G GIS | S7G4083040010 |

Odbiorniki podlegają okresowemu sprawdzeniu zgodnie z procedurą wewnętrzną P-03.

9. Wyniki pomiarów

Pole elektryczne

| Nr pionu | Opis umiejscowienia pionu (punktu pomiarowego) | Wysokość pomiaru [m] | Zmierzona wartość natężenia pola elektrycznego E [V/m] ^{1,5} | Wartość natężenia pola elektrycznego powiększona o niepewność pomiaru ⁴ E [V/m] | Wskaźnikowa wartość poziomu emisji pól elektromagnetycznych WMe ³ | Współrzędne geograficzne pionu (punktu pomiarowego) ² |
|----------|--|----------------------|---|--|--|--|
| 1 | GKP w odległości 5m od anteny sektorowej az. 24° | 0.3-2.0 | <1.0* | 1.5 | 0.05 | 53°8'8.2" 23°8'1.3" |
| 2 | GKP w odległości 55m od anteny sektorowej az. 24° | 2.0 | 2.5 | 3.8 | 0.13 | 53°8'9.6" 23°8'2.4" |
| 3 | GKP w odległości 108m od anteny sektorowej az. 24° | 2.0 | 2.3 | 3.5 | 0.12 | 53°8'11.0" 23°8'3.5" |
| 4 | PKP na az. 349° w odległości 48m od anteny sektorowej az. 24° | 2.0 | 2.0 | 3 | 0.11 | 53°8'9.6" 23°8'1.0" |
| 5 | PKP na az. 4° w odległości 48m od anteny sektorowej az. 24° | 2.0 | 1.9 | 2.9 | 0.1 | 53°8'9.6" 23°8'1.7" |
| 6 | PKP na az. 17° w odległości 46m od anteny sektorowej az. 24° | 2.0 | 2.2 | 3.3 | 0.12 | 53°8'9.2" 23°8'2.0" |
| 7 | PKP na az. 31° w odległości 88m od anteny sektorowej az. 24° | 0.3-2.0 | <1.0* | 1.5 | 0.05 | 53°8'10.3" 23°8'3.8" |
| 8 | PKP na az. 44° w odległości 27m od anteny sektorowej az. 24° | 2.0 | 1.8 | 2.7 | 0.1 | 53°8'8.5" 23°8'2.4" |
| 9 | PKP na az. 59° w odległości 25m od anteny sektorowej az. 24° | 2.0 | 1.9 | 2.9 | 0.1 | 53°8'8.2" 23°8'2.4" |
| 10 | DPP - za trwale zamkniętym oknie archiwum , piętro 6, ul. Zwycięstwa 10 | 2.0 | 1.2 | 1.8 | 0.06 | 53°8'7.1" 23°8'1.0" |
| 11 | DPP - za trwale zamkniętym oknie archiwum , piętro 6, ul. Zwycięstwa 10 | 2.0 | 1.4 | 2.1 | 0.08 | 53°8'7.8" 23°8'1.0" |
| 12 | DPP - w płaszczyźnie otworu okiennego biura, piętro 5, ul. Zwycięstwa 10 | 2.0 | 1.8 | 2.7 | 0.1 | 53°8'7.1" 23°8'1.0" |
| 13 | DPP - w płaszczyźnie otworu okiennego biura, piętro 5, ul. Zwycięstwa 10 | 2.0 | 2.7 | 4.1 | 0.14 | 53°8'7.1" 23°8'1.3" |

Sprawozdanie z badań bez pisemnej zgody laboratorium nie może być powielane inaczej niż w całości.
 Wynik przedstawione w niniejszym sprawozdaniu odnoszą się wyłącznie do badanego obiektu i do warunków i konfiguracji urządzeń w dniu wykonywania pomiarów.

| | | | | | | |
|----|---|---------|------------|-----|------|-------------------------|
| 14 | DPP - w płaszczyźnie otworu okiennego biura, piętro 5, ul. Zwycięstwa 10 | 2.0 | 1.4 | 2.1 | 0.08 | 53°8'8.2" 23°8'1.3" |
| 15 | DPP - za trwale zamkniętym oknie klatki schodowej, piętro 5, ul. Zwycięstwa 10 | 0.3-2.0 | <1.0* | 1.5 | 0.05 | 53°8'8.2" 23°8'1.0" |
| 16 | DPP - za trwale zamkniętym oknie budynku usługowego, piętro 1, ul. Zwycięstwa 10 | 0.3-2.0 | <1.0* | 1.5 | 0.05 | 53°8'8.5" 23°8'1.0" |
| 17 | DPP - za trwale zamkniętym oknie budynku usługowego, piętro 1, ul. Zwycięstwa 8 | 0.3-2.0 | <1.0* | 1.5 | 0.05 | 53°8'8.5" 23°8'2.8" |
| 18 | DPP - wewnątrz lokalu usługowego, brak dostępnych okien od strony anten, ul. Zwycięstwa 8 | 0.3-2.0 | <1.0* | 1.5 | 0.05 | 53°8'8.2" 23°8'3.5" |
| 19 | DPP - w płaszczyźnie otworu okiennego budynku mieszkalnego, na parterze, ul. Kolejowa 22 | 2.0 | 1.6 | 2.4 | 0.09 | 53°8'4.9" 23°8'3.5" |
| 20 | DPP - w płaszczyźnie otworu okiennego lokalu usługowego, na parterze, ul. Zwycięstwa | 2.0 | 1.4 | 2.1 | 0.08 | 53°8'6.0" 23°7'59.5" |
| 21 | DPP - w płaszczyźnie otworu okiennego klatki schodowej, piętro 4, ul. Zwycięstwa 3 | 2.0 | 2.5 | 3.8 | 0.13 | 53°8'6.4" 23°7'58.4" |
| 22 | DPP - w płaszczyźnie otworu okiennego klatki schodowej, piętro 4, ul. Zwycięstwa 3 | 2.0 | 3.8 | 5.7 | 0.2 | 53°8'6.7" 23°7'56.6" |
| 23 | DPP - w płaszczyźnie otworu okiennego lokalu usługowego, na parterze, ul. Zwycięstwa 8F | 2.0 | 1.3 | 2 | 0.07 | 53°8'7.8" 23°7'57.0" |
| 24 | DPP - w płaszczyźnie otworu okiennego lokalu usługowego, na parterze, ul. Zwycięstwa 8E | 0.3-2.0 | <1.0* | 1.5 | 0.05 | 53°8'7.8" 23°7'57.7" |
| 25 | DPP - w płaszczyźnie otworu okiennego lokalu usługowego, na parterze, ul. Zwycięstwa 8D | 0.3-2.0 | <1.0* | 1.5 | 0.05 | 53°8'7.4" 23°7'58.1" |
| 26 | DPP - w płaszczyźnie otworu okiennego lokalu usługowego, na parterze, ul. Zwycięstwa 8D | 0.3-2.0 | <1.0* | 1.5 | 0.05 | 53°8'7.4" 23°7'58.4" |

Sprawozdanie z badań bez pisemnej zgody laboratorium nie może być powielane inaczej niż w całości.
 Wynik przedstawione w niniejszym sprawozdaniu odnoszą się wyłącznie do badanego obiektu i do warunków i konfiguracji urządzeń w dniu wykonywania pomiarów.

| | | | | | | |
|----|---|---------|-------|-----|------|-------------------------|
| 27 | DPP - w płaszczyźnie otworu okiennego lokalu usługowego, na parterze, ul. Zwycięstwa 8C | 0.3-2.0 | <1.0* | 1.5 | 0.05 | 53°8'7.4" 23°7'58.8" |
| 28 | DPP - w płaszczyźnie otworu okiennego lokalu usługowego, na parterze, ul. Zwycięstwa 8B | 0.3-2.0 | <1.0* | 1.5 | 0.05 | 53°8'7.4" 23°7'59.2" |
| 29 | DPP - w płaszczyźnie otworu okiennego lokalu usługowego, na parterze, ul. Zwycięstwa 8A | 0.3-2.0 | <1.0* | 1.5 | 0.05 | 53°8'7.1" 23°7'59.5" |
| 30 | GKP w odległości 7m od anteny sektorowej az. 150° | 2.0 | 1.4 | 2.1 | 0.08 | 53°8'7.1" 23°8'1.0" |
| 31 | GKP w odległości 54m od anteny sektorowej az. 150° | 2.0 | 2.0 | 3 | 0.11 | 53°8'5.6" 23°8'2.4" |
| 32 | GKP w odległości 109m od anteny sektorowej az. 150° | 2.0 | 1.5 | 2.3 | 0.08 | 53°8'4.2" 23°8'3.8" |
| 33 | PKP na az. 115° w odległości 45m od anteny sektorowej az. 150° | 2.0 | 1.4 | 2.1 | 0.08 | 53°8'6.4" 23°8'3.1" |
| 34 | PKP na az. 130° w odległości 29m od anteny sektorowej az. 150° | 2.0 | 1.5 | 2.3 | 0.08 | 53°8'6.4" 23°8'2.0" |
| 35 | PKP na az. 143° w odległości 47m od anteny sektorowej az. 150° | 2.0 | 1.7 | 2.6 | 0.09 | 53°8'6.0" 23°8'2.4" |
| 36 | PKP na az. 157° w odległości 46m od anteny sektorowej az. 150° | 2.0 | 1.8 | 2.7 | 0.1 | 53°8'5.6" 23°8'1.7" |
| 37 | PKP na az. 170° w odległości 49m od anteny sektorowej az. 150° | 2.0 | 1.6 | 2.4 | 0.09 | 53°8'5.6" 23°8'1.3" |
| 38 | PKP na az. 185° w odległości 29m od anteny sektorowej az. 150° | 2.0 | 1.5 | 2.3 | 0.08 | 53°8'6.4" 23°8'0.6" |
| 39 | GKP w odległości 6m od anten radioliniowych az. 169° i 182° | 2.0 | 1.3 | 2 | 0.07 | 53°8'7.1" 23°8'1.0" |
| 40 | GKP w odległości 31m od anteny radioliniowej az. 169° | 2.0 | 1.5 | 2.3 | 0.08 | 53°8'6.0" 23°8'1.3" |
| 41 | GKP w odległości 26m od anteny radioliniowej az. 182° | 2.0 | 1.6 | 2.4 | 0.09 | 53°8'6.4" 23°8'1.0" |
| 42 | GKP w odległości 84m od anteny sektorowej az. 270° | 0.3-2.0 | <1.0* | 1.5 | 0.05 | 53°8'7.8" 23°7'56.6" |
| 43 | GKP w odległości 108m od anteny sektorowej az. 270° | 2.0 | 2.5 | 3.8 | 0.13 | 53°8'8.2" 23°7'55.2" |
| 44 | PKP na az. 235° w odległości 76m od anteny sektorowej az. 270° | 2.0 | 1.4 | 2.1 | 0.08 | 53°8'6.7" 23°7'57.7" |
| 45 | PKP na az. 250° w odległości 83m od anteny sektorowej az. 270° | 2.0 | 1.6 | 2.4 | 0.09 | 53°8'7.1" 23°7'56.6" |

Sprawozdanie z badań bez pisemnej zgody laboratorium nie może być powielane inaczej niż w całości.
 Wynik przedstawione w niniejszym sprawozdaniu odnoszą się wyłącznie do badanego obiektu i do warunków i konfiguracji urządzeń w dniu wykonywania pomiarów.

| | | | | | | |
|----|--|---------|-------|-----|------|--------------------------|
| 46 | PKP na az. 263° w odległości 84m od anteny sektorowej az. 270° | 2.0 | 1.5 | 2.3 | 0.08 | 53°8'7.8" 23°7'56.6" |
| 47 | PKP na az. 277° w odległości 86m od anteny sektorowej az. 270° | 2.0 | 1.4 | 2.1 | 0.08 | 53°8'8.2" 23°7'56.3" |
| 48 | PKP na az. 290° w odległości 85m od anteny sektorowej az. 270° | 2.0 | 1.4 | 2.1 | 0.08 | 53°8'8.9" 23°7'56.6" |
| 49 | PKP na az. 305° w odległości 84m od anteny sektorowej az. 270° | 2.0 | 1.5 | 2.3 | 0.08 | 53°8'9.6" 23°7'57.4" |
| 50 | DPP - w płaszczyźnie otworu okiennego lokalu usługowego, na parterze, ul. Zwycięstwa 8 | 0.3-2.0 | <1.0* | 1.5 | 0.05 | 53°8'8.9" 23°7'59.9" |
| - | GKP w odległości 335m od anteny sektorowej az. 24° | 0.3-2.0 | <1.0* | 1.5 | 0.05 | 53°8'17.9" 23°8'8.5" |
| - | GKP w odległości 374m od anteny sektorowej az. 150° | 0.3-2.0 | <1.0* | 1.5 | 0.05 | 53°7'56.6" 23°8'11.0" |
| - | GKP w odległości 189m od anteny sektorowej az. 270° | 2.0 | 3.5 | 5.3 | 0.19 | 53°8'7.8" 23°7'50.9" |

Pole magnetyczne (wyznaczone na podstawie pomiaru wartości natężenia pola elektrycznego)

| Nr pionu | Opis umiejscowienia pionu (punktu pomiarowego) | Wysokość pomiaru [m] | Wartość natężenia pola magnetycznego H [A/m] ¹ | Wartość natężenia pola magnetycznego powiększona o niepewność pomiaru ⁴ H [A/m] | Wskaźnikowa wartość poziomu emisji pól elektromagnetycznych WM ₁₀ ^{2,3} | Współrzędne geograficzne pionu (punktu pomiarowego) ² |
|----------|---|----------------------|---|--|---|--|
| 1 | GKP w odległości 5m od anteny sektorowej az. 24° | 0.3-2.0 | <0.003* | 0.004 | 0.05 | 53°8'8.2" 23°8'1.3" |
| 2 | GKP w odległości 55m od anteny sektorowej az. 24° | 2.0 | 0.007 | 0.01 | 0.14 | 53°8'9.6" 23°8'2.4" |
| 3 | GKP w odległości 108m od anteny sektorowej az. 24° | 2.0 | 0.006 | 0.009 | 0.13 | 53°8'11.0" 23°8'3.5" |
| 4 | PKP na az. 349° w odległości 48m od anteny sektorowej az. 24° | 2.0 | 0.005 | 0.008 | 0.11 | 53°8'9.6" 23°8'1.0" |
| 5 | PKP na az. 4° w odległości 48m od anteny sektorowej az. 24° | 2.0 | 0.005 | 0.008 | 0.1 | 53°8'9.6" 23°8'1.7" |
| 6 | PKP na az. 17° w odległości 46m od anteny sektorowej az. 24° | 2.0 | 0.006 | 0.009 | 0.12 | 53°8'9.2" 23°8'2.0" |
| 7 | PKP na az. 31° w odległości 88m od anteny sektorowej az. 24° | 0.3-2.0 | <0.003* | 0.004 | 0.05 | 53°8'10.3" 23°8'3.8" |
| 8 | PKP na az. 44° w odległości 27m od anteny sektorowej az. 24° | 2.0 | 0.005 | 0.007 | 0.1 | 53°8'8.5" 23°8'2.4" |
| 9 | PKP na az. 59° w odległości 25m od anteny sektorowej az. 24° | 2.0 | 0.005 | 0.008 | 0.1 | 53°8'8.2" 23°8'2.4" |

Sprawozdanie z badań bez pisemnej zgody laboratorium nie może być powielane inaczej niż w całości.
 Wynik przedstawione w niniejszym sprawozdaniu odnoszą się wyłącznie do badanego obiektu i do warunków i konfiguracji urządzeń w dniu wykonywania pomiarów.

| | | | | | | |
|----|---|---------|--------------|-------|------|-------------------------|
| 10 | DPP - za trwale zamkniętym oknie archiwum , piętro 6, ul. Zwycięstwa 10 | 2.0 | 0.003 | 0.005 | 0.07 | 53°8'7.1" 23°8'1.0" |
| 11 | DPP - za trwale zamkniętym oknie archiwum , piętro 6, ul. Zwycięstwa 10 | 2.0 | 0.004 | 0.006 | 0.08 | 53°8'7.8" 23°8'1.0" |
| 12 | DPP - w płaszczyźnie otworu okiennego biura, piętro 5, ul. Zwycięstwa 10 | 2.0 | 0.005 | 0.007 | 0.1 | 53°8'7.1" 23°8'1.0" |
| 13 | DPP - w płaszczyźnie otworu okiennego biura, piętro 5, ul. Zwycięstwa 10 | 2.0 | 0.007 | 0.011 | 0.15 | 53°8'7.1" 23°8'1.3" |
| 14 | DPP - w płaszczyźnie otworu okiennego biura, piętro 5, ul. Zwycięstwa 10 | 2.0 | 0.004 | 0.006 | 0.08 | 53°8'8.2" 23°8'1.3" |
| 15 | DPP - za trwale zamkniętym oknie klatki schodowej, piętro 5, ul. Zwycięstwa 10 | 0.3-2.0 | <0.003* | 0.004 | 0.05 | 53°8'8.2" 23°8'1.0" |
| 16 | DPP - za trwale zamkniętym oknie budynku usługowego, piętro 1, ul. Zwycięstwa 10 | 0.3-2.0 | <0.003* | 0.004 | 0.05 | 53°8'8.5" 23°8'1.0" |
| 17 | DPP - za trwale zamkniętym oknie budynku usługowego, piętro 1, ul. Zwycięstwa 8 | 0.3-2.0 | <0.003* | 0.004 | 0.05 | 53°8'8.5" 23°8'2.8" |
| 18 | DPP - wewnątrz lokalu usługowego, brak dostępnych okien od strony anten, ul. Zwycięstwa 8 | 0.3-2.0 | <0.003* | 0.004 | 0.05 | 53°8'8.2" 23°8'3.5" |
| 19 | DPP - w płaszczyźnie otworu okiennego budynku mieszkalnego, na parterze, ul. Kolejowa 22 | 2.0 | 0.004 | 0.006 | 0.09 | 53°8'4.9" 23°8'3.5" |
| 20 | DPP - w płaszczyźnie otworu okiennego lokalu usługowego , na parterze, ul. Zwycięstwa | 2.0 | 0.004 | 0.006 | 0.08 | 53°8'6.0" 23°7'59.5" |
| 21 | DPP - w płaszczyźnie otworu okiennego klatki schodowej, piętro 4, ul. Zwycięstwa 3 | 2.0 | 0.007 | 0.01 | 0.14 | 53°8'6.4" 23°7'58.4" |
| 22 | DPP - w płaszczyźnie otworu okiennego klatki schodowej, piętro 4, ul. Zwycięstwa 3 | 2.0 | 0.010 | 0.015 | 0.21 | 53°8'6.7" 23°7'56.6" |
| 23 | DPP - w płaszczyźnie otworu okiennego lokalu usługowego , na parterze, ul. Zwycięstwa 8F | 2.0 | 0.003 | 0.005 | 0.07 | 53°8'7.8" 23°7'57.0" |
| 24 | DPP - w płaszczyźnie otworu okiennego lokalu usługowego , na parterze, ul. Zwycięstwa 8E | 0.3-2.0 | <0.003* | 0.004 | 0.05 | 53°8'7.8" 23°7'57.7" |
| 25 | DPP - w płaszczyźnie otworu okiennego lokalu usługowego , na parterze, ul. Zwycięstwa 8D | 0.3-2.0 | <0.003* | 0.004 | 0.05 | 53°8'7.4" 23°7'58.1" |

Sprawozdanie z badań bez pisemnej zgody laboratorium nie może być powielane inaczej niż w całości.
 Wynik przedstawione w niniejszym sprawozdaniu odnoszą się wyłącznie do badanego obiektu i do warunków i konfiguracji urządzeń w dniu wykonywania pomiarów.

| | | | | | | |
|----|--|---------|---------|-------|------|-------------------------|
| 26 | DPP - w płaszczyźnie otworu okiennego lokalu usługowego , na parterze, ul. Zwycięstwa 8D | 0,3-2,0 | <0.003* | 0.004 | 0.05 | 53°8'7.4" 23°7'58.4" |
| 27 | DPP - w płaszczyźnie otworu okiennego lokalu usługowego , na parterze, ul. Zwycięstwa 8C | 0,3-2,0 | <0.003* | 0.004 | 0.05 | 53°8'7.4" 23°7'58.8" |
| 28 | DPP - w płaszczyźnie otworu okiennego lokalu usługowego , na parterze, ul. Zwycięstwa 8B | 0,3-2,0 | <0.003* | 0.004 | 0.05 | 53°8'7.4" 23°7'59.2" |
| 29 | DPP - w płaszczyźnie otworu okiennego lokalu usługowego , na parterze, ul. Zwycięstwa 8A | 0,3-2,0 | <0.003* | 0.004 | 0.05 | 53°8'7.1" 23°7'59.5" |
| 30 | GKP w odległości 7m od anteny sektorowej az. 150° | 2.0 | 0.004 | 0.006 | 0.08 | 53°8'7.1" 23°8'1.0" |
| 31 | GKP w odległości 54m od anteny sektorowej az. 150° | 2.0 | 0.005 | 0.008 | 0.11 | 53°8'5.6" 23°8'2.4" |
| 32 | GKP w odległości 109m od anteny sektorowej az. 150° | 2.0 | 0.004 | 0.006 | 0.08 | 53°8'4.2" 23°8'3.8" |
| 33 | PKP na az. 115° w odległości 45m od anteny sektorowej az. 150° | 2.0 | 0.004 | 0.006 | 0.08 | 53°8'6.4" 23°8'3.1" |
| 34 | PKP na az. 130° w odległości 29m od anteny sektorowej az. 150° | 2.0 | 0.004 | 0.006 | 0.08 | 53°8'6.4" 23°8'2.0" |
| 35 | PKP na az. 143° w odległości 47m od anteny sektorowej az. 150° | 2.0 | 0.005 | 0.007 | 0.09 | 53°8'6.0" 23°8'2.4" |
| 36 | PKP na az. 157° w odległości 46m od anteny sektorowej az. 150° | 2.0 | 0.005 | 0.007 | 0.1 | 53°8'5.6" 23°8'1.7" |
| 37 | PKP na az. 170° w odległości 49m od anteny sektorowej az. 150° | 2.0 | 0.004 | 0.006 | 0.09 | 53°8'5.6" 23°8'1.3" |
| 38 | PKP na az. 185° w odległości 29m od anteny sektorowej az. 150° | 2.0 | 0.004 | 0.006 | 0.08 | 53°8'6.4" 23°8'0.6" |
| 39 | GKP w odległości 6m od anten radioliniowych az. 169° i 182° | 2.0 | 0.003 | 0.005 | 0.07 | 53°8'7.1" 23°8'1.0" |
| 40 | GKP w odległości 31m od anteny radioliniowej az. 169° | 2.0 | 0.004 | 0.006 | 0.08 | 53°8'6.0" 23°8'1.3" |
| 41 | GKP w odległości 26m od anteny radioliniowej az. 182° | 2.0 | 0.004 | 0.006 | 0.09 | 53°8'6.4" 23°8'1.0" |
| 42 | GKP w odległości 84m od anteny sektorowej az. 270° | 0,3-2,0 | <0.003* | 0.004 | 0.05 | 53°8'7.8" 23°7'56.6" |
| 43 | GKP w odległości 108m od anteny sektorowej az. 270° | 2.0 | 0.007 | 0.01 | 0.14 | 53°8'8.2" 23°7'55.2" |
| 44 | PKP na az. 235° w odległości 76m od anteny sektorowej az. 270° | 2.0 | 0.004 | 0.006 | 0.08 | 53°8'6.7" 23°7'57.7" |

Sprawozdanie z badań bez pisemnej zgody laboratorium nie może być powielane inaczej niż w całości.
 Wynik przedstawione w niniejszym sprawozdaniu odnoszą się wyłącznie do badanego obiektu i do warunków i konfiguracji urządzeń w dniu wykonywania pomiarów.

| | | | | | | |
|----|--|---------|---------|-------|------|--------------------------|
| 45 | PKP na az. 250° w odległości 83m od anteny sektorowej az. 270° | 2.0 | 0.004 | 0.006 | 0.09 | 53°8'7.1" 23°7'56.6" |
| 46 | PKP na az. 263° w odległości 84m od anteny sektorowej az. 270° | 2.0 | 0.004 | 0.006 | 0.08 | 53°8'7.8" 23°7'56.6" |
| 47 | PKP na az. 277° w odległości 86m od anteny sektorowej az. 270° | 2.0 | 0.004 | 0.006 | 0.08 | 53°8'8.2" 23°7'56.3" |
| 48 | PKP na az. 290° w odległości 85m od anteny sektorowej az. 270° | 2.0 | 0.004 | 0.006 | 0.08 | 53°8'8.9" 23°7'56.6" |
| 49 | PKP na az. 305° w odległości 84m od anteny sektorowej az. 270° | 2.0 | 0.004 | 0.006 | 0.08 | 53°8'9.6" 23°7'57.4" |
| 50 | DPP - w płaszczyźnie otworu okiennego lokalu usługowego, na parterze, ul. Zwycięstwa 8 | 0.3-2.0 | <0.003* | 0.004 | 0.05 | 53°8'8.9" 23°7'59.9" |
| - | GKP w odległości 335m od anteny sektorowej az. 24° | 0.3-2.0 | <0.003* | 0.004 | 0.05 | 53°8'17.9" 23°8'8.5" |
| - | GKP w odległości 374m od anteny sektorowej az. 150° | 0.3-2.0 | <0.003* | 0.004 | 0.05 | 53°7'56.6" 23°8'11.0" |
| - | GKP w odległości 189m od anteny sektorowej az. 270° | 2.0 | 0.009 | 0.014 | 0.19 | 53°8'7.8" 23°7'50.9" |

GKP - Główny Kierunek Pomiarowy

DPP - Dodatkowy Pion Pomiarowy

PKP - Pomocniczy Kierunek Pomiarowy

¹ wyniki oznaczone * są wynikami poniżej czułości zestawu pomiarowego i są wynikami spoza zakresu akredytacji. Do obliczenia wyniku skorygowanego przyjęto wartość skorelowaną z rzeczywistym wynikiem pomiaru - dolną granicę akredytowanego zakresu pomiarowego metody

² współrzędne geograficzne pozyskane metodą pomiaru bezpośredniego

³ do wyznaczenia wartości wskaźnikowej W_{ME} i W_{MH} przyjęto na podstawie uzgodnień z klientem oraz rozpoznania źródeł, jako wartości dopuszczalne pola elektrycznego i magnetycznego odpowiednio 28 V/m i 0,073 A/m.

⁴ do wyznaczenia niepewności dla wyników poniżej czułości zestawu pomiarowego, przyjęto niepewność dla minimalnej wartości z zakresu pomiarowego.

⁵ maksymalna wartość chwilowa

Niepewność oszacowano zgodnie z dokumentem P-03 „Procedura nadzoru nad wyposażeniem” w postaci niepewności rozszerzonej wynikającej z niepewności standardowej pomnożonej przez współczynnik rozszerzenia $k=2$.

Całkowita szacowana niepewność rozszerzona składowej E wynosi odpowiednio: 50% dla częstotliwości do 40 GHz

Pomiarów nie wykonano:

| Oznaczenie braku dostępu | Opis umiejscowienia |
|--------------------------|---|
| A | W budynkach i na terenie gddkia pod adresem ul. Zwycięstwa 2, z powodu braku zgody właściciela na wykonanie pomiaru |

Umiejscowienie pionów (punktów) pomiarowych przedstawiono w załączniku nr 2 do niniejszego sprawozdania.

Sprawozdanie z badań bez pisemnej zgody laboratorium nie może być powielane inaczej niż w całości.
 Wynik przedstawione w niniejszym sprawozdaniu odnoszą się wyłącznie do badanego obiektu i do warunków i konfiguracji urządzeń w dniu wykonywania pomiarów.

10. Omówienie wyników pomiarów

W związku z tym, że żadna z wartości zmierzonych, udokumentowanych w tabelach w pkt. 9, uzyskanych w skutek zastosowania pomiaru szerokopasmowego, powiększonego o rozszerzoną niepewność pomiaru U dla współczynnika rozszerzenia $k = 2$ nie przekroczyła 70% najniższej dopuszczalnej wartości składowej elektrycznej lub magnetycznej pola dla objętych pomiarami zakresów częstotliwości, nie uwzględnia się poprawek pomiarowych.

W wyniku zastosowania sposobu sprawdzenia dotrzymania dopuszczalnych poziomów pól elektromagnetycznych w środowisku, zgodnie pkt 25 ppkt 1 Rozporządzenia Ministra Klimatu z dnia 17 lutego 2020 r. (Dz. U. 2022, poz. 2630), w związku z tym, że żadna z wartości wskaźnikowych, udokumentowanych w tabelach w pkt. 9 nie przekracza wartości 1, stwierdza się, że w miejscach, w których wykonano pomiary w otoczeniu instalacji radiokomunikacyjnej 24004 (96005N!) WBI_BIALYSTOK_ZWYCIESTWA10, dopuszczalne poziomy pól elektromagnetycznych w środowisku należy uznać za dotrzymane.

Miejsca niedostępne podczas wykonywania pomiarów wskazane zostały w pkt. 9 (Wyniki pomiarów) lub na załączniku przedstawiającym usytuowanie pionów pomiarowych

11. Podstawa prawna

- 1) Ustawa z dnia 27 kwietnia 2001 r. Prawo ochrony środowiska (Dz.U. 2022 poz. 2556)
- 2) Rozporządzenie Ministra Zdrowia z dnia 17 grudnia 2019 r. w sprawie dopuszczalnych poziomów pól elektromagnetycznych w środowisku (Dz. U. 2019, poz. 2448)
- 3) Rozporządzenie Ministra Klimatu z dnia 17 lutego 2020 r. w sprawie sposobów sprawdzania dotrzymania dopuszczalnych poziomów pól elektromagnetycznych w środowisku (Dz. U. 2022, poz. 2630),
- 4) Akredytacja nr AB 419 wydana przez Polskie Centrum Akredytacji (wydanie 22, z dnia 9 stycznia 2024 r.)

12. Spis załączników

- Załącznik 1. Lokalizacja obiektu badań
- Załącznik 2. Usytuowanie pionów (punktów) pomiarowych
- Załącznik 3. Dokumentacja fotograficzna obiektu badań

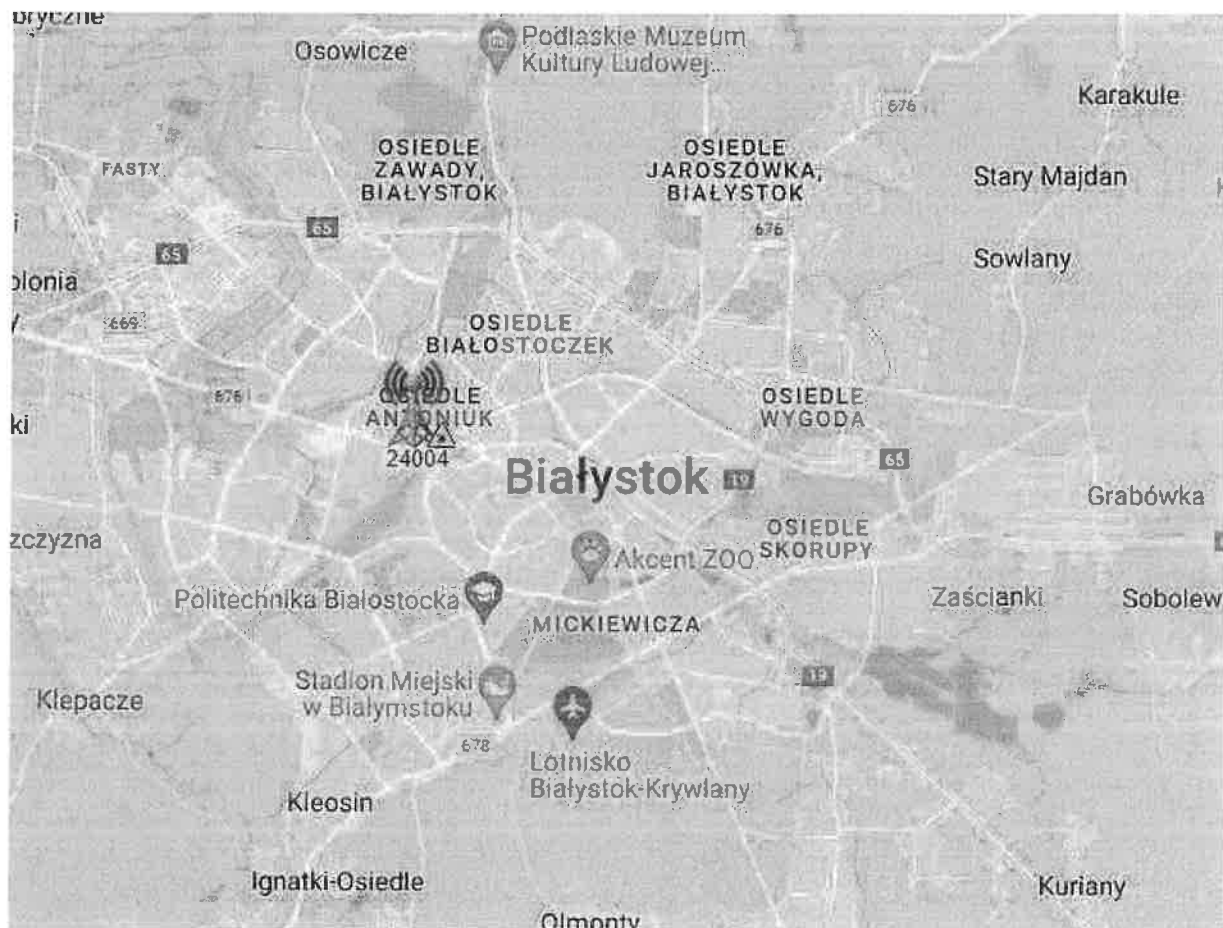
13. Data wydania i autoryzowania sprawozdania

Obliczenia i sprawozdanie wykonał :

Sprawozdanie autoryzował:



Sprawozdanie z badań bez pisemnej zgody laboratorium nie może być powielane inaczej niż w całości.
Wynik przedstawione w niniejszym sprawozdaniu odnoszą się wyłącznie do badanego obiektu i do warunków i konfiguracji urządzeń w dniu wykonywania pomiarów.



| | |
|----------------|--|
| Załącznik nr 1 | Instalacja radiokomunikacyjna T-Mobile Polska S.A. 24004 (96005N!) WBI_BIAŁYSTOK_ZWYCIESTWA10 Lokalizacja instalacji radiokomunikacyjnej |
|----------------|--|



| | |
|----------------|--|
| Załącznik nr 3 | Instalacja radiokomunikacyjna T-Mobile Polska S.A. 24004 (96005N!) WBI_BIALYSTOK_ZWYCIESTWA10 Dokumentacja fotograficzna |
|----------------|--|

WYDRUKU UPP DOKONANO
DATA 2024 -03- 26